

## 討6 転炉プロセスにおける計算機制御の現状と将来

住友金属 和歌山製鉄所 梨和甫 杉田宏  
池内祥晴 栗林隆 加藤木健

## I. 緒言

近年 転炉プロセスの自動化およびシステム化における技術開発はめざましく、  
近い将来の転炉操業の完全自動化へ向け、着実な歩みを続けている。

一方、減速経済下において、現場のニーズも 量(生産性)の追求から 質(品質・  
合理化・省資源・省エネルギー)的向上へと 重点が移行し、この点からも転炉操業に  
対する計算機の役割は 増大する一方となっている。

このような状況下での 当社 和歌山製鉄所の転炉プロセスにおける計算機制御の現状  
および 将来像と今後解決すべき諸問題について その概要を以下に述べる。

## II. 転炉プロセスにおける計算機制御の現状と将来

## 1. 概要

転炉プロセスにおける計算機制御導入の目的は 概ね2つに大別できる。  
すなわち、

- A. 外的条件により定められた操業条件下で 生産性・歩留・各種原単位を向上させ、  
ミニマムコストを維持しつつ、吹鍊終点 および取鍋内での 成分・温度のバラツキを  
減少させ、安定した品質を得ること。
- B. 転炉吹鍊作業の合理化を 機械化および自動化により推進すること。  
の2点である。

当所では 上記の目的で 転炉プロセスにおいて 6つのモデルを導入しており、  
うち 開発中の1つを除き、通常操業において有効に活用され、効果をあげている。  
当所にて導入しているモデルの概要を 図1に示す。

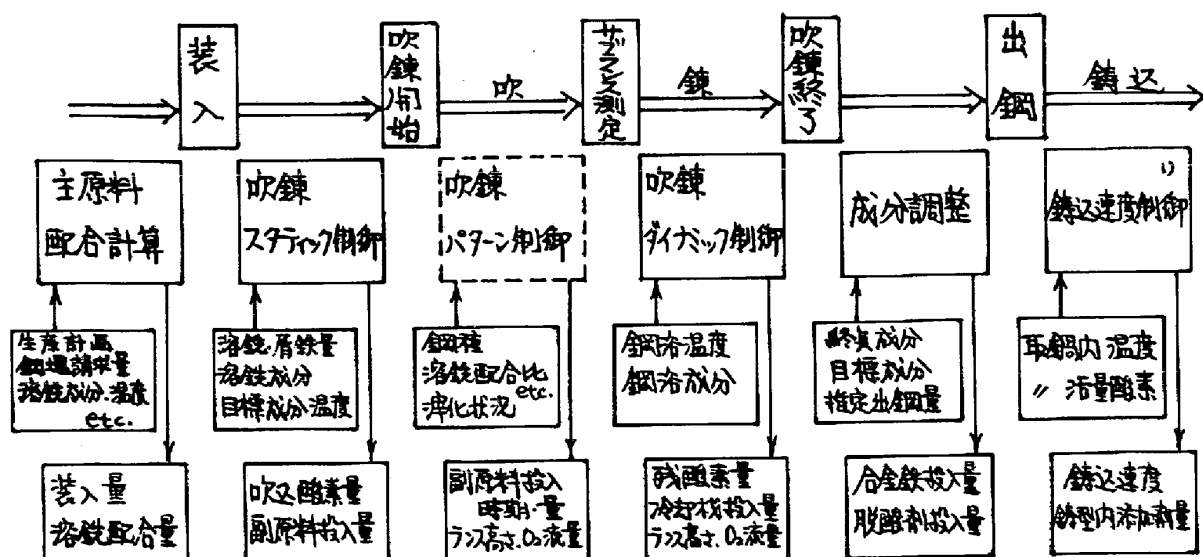


図1. 転炉プロセスにおける計算機制御の現状

## 2. 主原料配合モデル

本モデルの目的は、適切な装入量および溶銑率をチャージ毎に設定することにあり、

A. 限られた熱源としての溶銑の有効利用 およびこれに伴う吹鍊命中率の向上

B. 製鋼歩留の向上

にある。特に、吹鍊スタティック制御モデルの基盤として、終点温度制御の有効性を保証し、目標的には安定した参考チャージを得るうえで、本モデルの果たす役割は大きい。

制御式は 热バランス式および酸素バランス式によって示される。

$$\Delta HMR = f(S_{HIM}, T_{HM}, C_{AHM}, T_{AM}, CMR) \quad (1)$$

$$W_{CHARGE} = g(W_{IT}, GRD, HMR, CMR, Y) \quad (2)$$

ここで  $\Delta HMR$  : [各チャージの溶銑率] - [生産計画により定まる基準溶銑率]

$S_{HIM}$  : 溶銑

$T_{HM}$  : 溶銑温度 (出銑温度 - 溶銑脱硫処理法別温度降下量)

$C_{AHM}, T_{AM}$  : 終点目標 C, 終点目標温度

$CMR$  : 冷銑配合率

$GRD$  : 鋼種

$W_{IT}$  : 鋼塊請求量

$Y$  : 製鋼歩留

## 3. 吹鍊スタティック制御モデル

吹鍊終長 C および温度の制御は 転炉プロセスにおける最大の課題であるが、当所では、スタティック+ダイナミック制御の併用により、終点制御を行なっている。

スタティック制御の役割は、ダイナミック制御の自由度を保証することにあり、当所では特に、吹鍊末期ダイナミック制御開始時長との鋼浴温度を 目標値  $\pm 30 \sim \pm 10^\circ$  以内に制御することを目標としている。

制御式は、熱バランス式・酸素バランス式の2種があり、終点目標 C により区分された鋼種グループ毎に、終点温度および酸素原単位の各基準曲線(別途オフライン解析にて算出)からの偏差実績をファイル(計50cf)し、参考チャージ方式にて 吹込酸素量および副原料投入量の適正値を決定している。

$$\text{終点温度推定式: } \tilde{T}_{st} = \bar{T}_{st} + \Delta T_{st} \quad (\bar{T}_{st}: \text{終点温度基準値}) \quad (3)$$

$$\text{但し } \Delta T_{st} = k_1 \cdot \Delta T_{HM} + k_2 \cdot S_{HIM} + k_3 \cdot \Delta HMR + k_4 \cdot \Delta CMR - \sum_i k_i \cdot \Delta W_{i,flux} \\ + k_C \cdot f_T(C, \bar{C}) - k_L \cdot \Delta t_{loss} - k_I \cdot I \quad (3')$$

吹込酸素原単位

$$\text{推定式: } \tilde{Y} = \bar{Y} + \Delta Y \quad (\bar{Y}: \text{吹込酸素原単位基準値}) \quad (4)$$

$$\text{但し } \Delta Y = l_1 \cdot \Delta S_{HIM} + \sum_i l_i \cdot \Delta W_{i,flux} + f_0(C, \bar{C}) - l_2 \cdot I \quad (4')$$

ここで  $\Delta T_{HM}$ : 溶銑温度偏分値

$\Delta W_{i,flux}$ : 副原料偏分値

$\Delta S_{HIM}$ : " " "

$f_T(C, \bar{C})$ : 終点 C 偏分による昇温値

$\Delta HMR$ : 溶銑率偏分値

$f_0(C, \bar{C})$ : " " 酸素原単位偏分値

$\Delta CMR$ : 冷銑率 "

$\Delta t_{loss}$ : 炉休止時間偏分値

I : 炉口地金取りの有無

当所 160t 軒炉で本モデルを適用した結果を図3に示す。吹込み酸素原単位および終点温度の誤差は互に正の相関があり、その結果ダイナミック制御を適用しても C・温度の同時的中率が不可となつたチャージが 7% 存在する。この問題の解決は 淬化のバラツキの減少により得られると考えられ、吹鍊的中率の向上のためには、今後検討すべき項目である。

#### 4. 吹鍊ダイナミック制御モデル<sup>(2)(3)(4)</sup>

当所のダイナミックモデルはサブランスマodelを主体とし、排ガス分析値からほぼ連続的に算出される脱炭速度を併用して成立している。サブランスマodelの精度向上に加えて、種々の誤差要因を解消する必要がある。その主な要因と対策を表1に、またダイナミック制御のフローチャートを図5に示す。

終点制御精度の向上には、前述の 主原料配合モデル・スタティックモデルの精度向上に加えて、種々の誤差要因を解消する必要がある。その主な要因と対策を表1に、また ダイナミック制御のフローチャートを 図5 に示す。

表1 終点制御精度に影響をあたる諸要因

分類	項目	内容	対策
鋼浴成分 温度変化の 再現性	C変化	吹鍊初期の変化の再現性 <sup>①</sup> 吹止後の " <sup>②</sup>	排ガスモデルの併用 準化の安定
	温度変化	吹鍊初期の " <sup>③</sup> 吹止後の " <sup>④</sup>	準化の安定 (吹鍊のバッチ化)
制御モデルの良否	Cモデル	C変化の推定精度	オンライン解析の定常化
	温度モデル	温度変化の "	"
測定値の代表性	C	鋼浴内の不均一性 <sup>⑤</sup>	測定位置の固定化
	温度	" <sup>⑥</sup>	"
計測誤差	C計測(CG)	熱電対・記録計 etc.	サンプル迅速分析
	温度 "	"	-
	酸素流量 "	-	-
	液面位置 "	-	-
その他	溶鋼重量換算	-	-

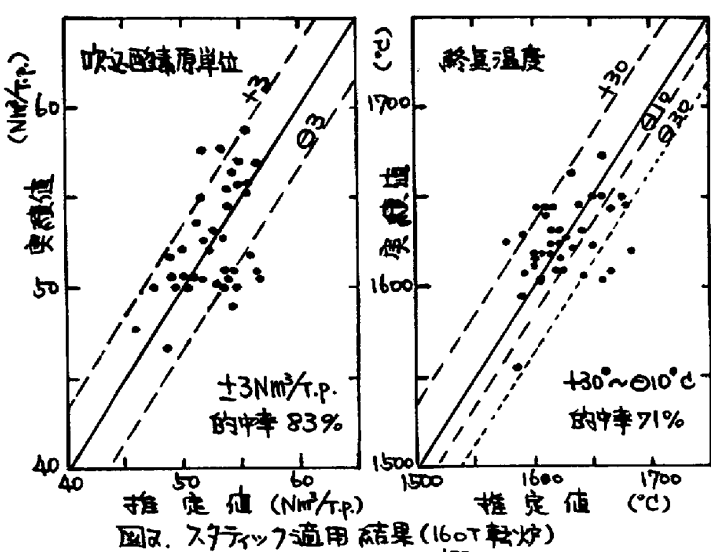


図3. スタティック適用結果(160t 軒炉)

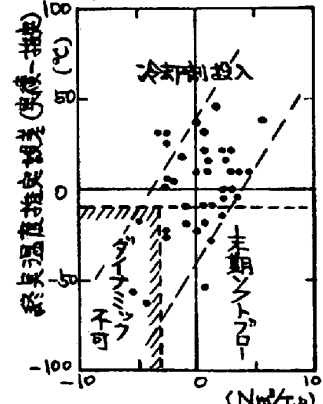


図3. スタティックモデルの誤差  
およびダイナミック制御項目

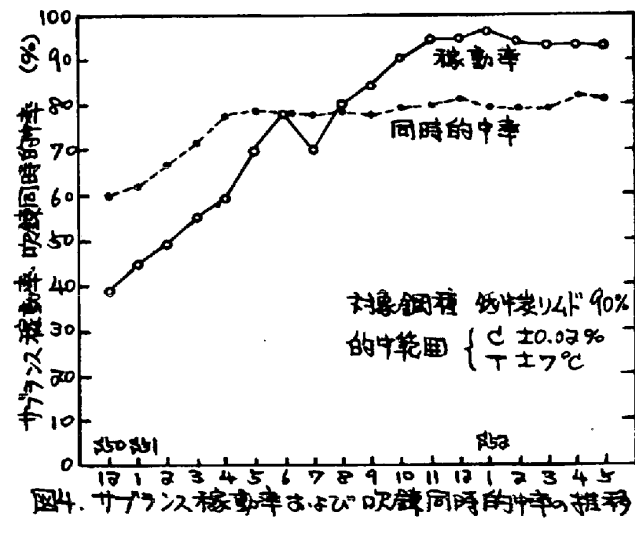


図4. サブランスマodelの精度  
および吹鍊同時的中率の推移

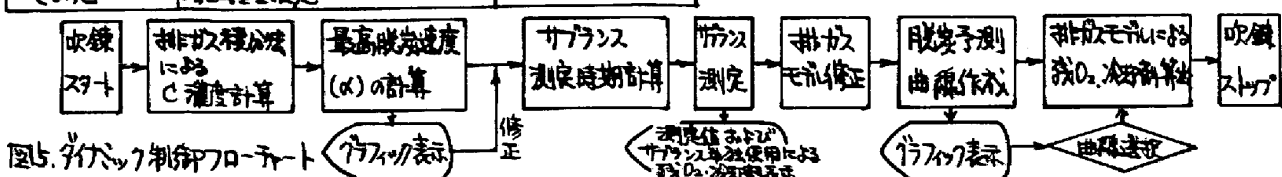


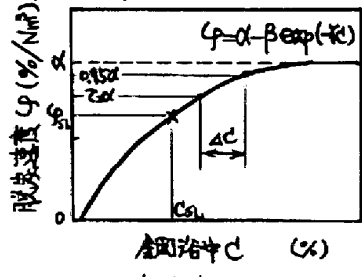
図5. ダイナミック制御フローチャート

排ガスモデルの導用により、終実C的中精度は約1.5%向上した。 $(\pm 0.03\% : 73\% \rightarrow 87\%)$   
即ち、従来のJIS Lモデル<sup>2)</sup>： $\gamma(\equiv \frac{dc}{dt}) = \alpha - \beta \exp(-\gamma C)$  が判明しているため、係数 $\beta \cdot \gamma$ の決定に際し、次式からより正確な値が決定され、推定精度が向上したためである。

$$\gamma = -1/AC \ln \alpha (1-0.95)/\alpha (1-\gamma_0) \quad (5')$$

$$\beta = (\alpha - \gamma_0) \exp(\gamma C_{SL}) \quad (5'')$$

( $\alpha$ : 最高脱炭速度) (5)



また、 $C_{SL}$ を知ることにより、吹鍊スタート以降サブランスマーティンまでの排ガス積分法の補正值 $C_1$ を決定でき、これをサブランスマーティン脱炭速度ととの関係測定以降の排ガス積分法に適用することにより、各時刻でのC推定も精度良く計算できる。

$$C_1 = (C_0 - C_{SL}) / (C_0 - C_{SL,cal}) \quad (6)$$

但し、 $C_0$ ：初期C  $C_{SL,cal}$ ：サブランスマーティン時刻での排ガス積分法によるC推定値  
この結果、図4の如く、±0.5%以上の同時的命中率を得ている。

### 5. 吹鍊バターン制御モデル（自動吹鍊モデル）

吹鍊的中率の向上および炉内脱炭の安定には、安定した津化を得ることが極めて重要である。当所では吹鍊の安定を目的として吹鍊のバターン化に取り組んでいるが、吹鍊中の津化状況の定量化が困難であり、未だ実用化には至っていない。

### 6. 成分調整モデル

終実成分および溶鋼重量推定値を知り、物質バランス式より合金鉄投入量を決定する。この際、先行95チャージの操業実績ファイルより類似チャージを選択し、レードル成分推定誤差の平均値 $\delta_C$ を求めて、物質バランス式を補正する。例えば、Cバランス式では

$$C_{SL,cal} - C_E = \sum k_i \cdot W_i - k + \delta_C \quad (7)$$

但し、 $C_{SL,cal}$ ：目標レードルC  $W_i$ ：合金鉄の原単位  
 $C_E$ ：終実C  $\delta_C$ ：推定誤差平均値  
 $k_i$ ：合金鉄の歩留係数

本モデルのリムド鋼への適用例を図7に示す。

### III. 結 言

現在、転炉プロセスは装入から出鋼までほぼ計算機制御が適用されている。しかし、吹鍊的中精度のより一層の向上、また炉内脱炭を含めた制御、および自動吹鍊により真的ミニマムコストを達成するためには、吹鍊中に随時 津化状況を知ることが不可欠であると考える。我々はこの方向で更に各モデルの精度向上をはかり、転炉プロセスの計算機による完全制御を早期に実現したい。

(参考文献) 1) 鋼上録 63(1977)S113 2) 住友金属 Vol.25, No.1 3) 住友金属 Vol.27, No.4

4) 鋼上録 62(1976)S113 5) 鋼上録 62(1976)S116 6) 鋼上録 62(1976)S115

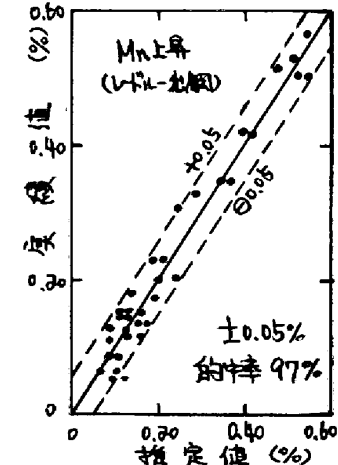
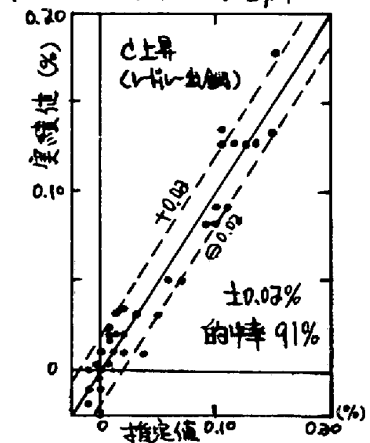


図7. 成分調整モデル適用例  
(リムド鋼)